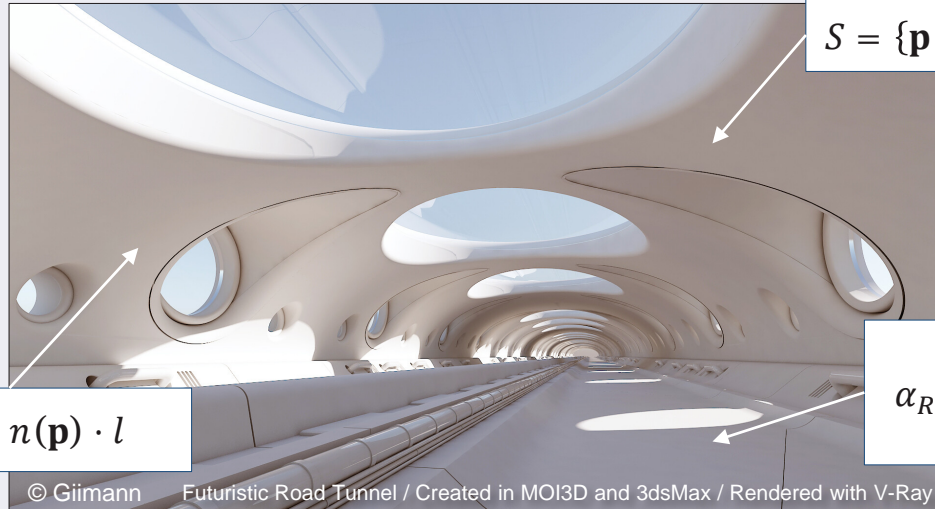


# Computer Graphics

From mathematics ...



$$S = \{\mathbf{p} \in \mathbf{R}^3, f(\mathbf{p}) = 0\}$$

$$d(\mathbf{p}) = n(\mathbf{p}) \cdot l$$

$$\alpha_R(\mathbf{p}) \approx \frac{1}{n} \sum_{i=0}^n \delta_i$$

© Giimann Futuristic Road Tunnel / Created in MOI3D and 3dsMax / Rendered with V-Ray

... to the screen

E. Galin  
Université Lyon 1

# Computer Graphics

Mathematics

Modeling

Color and Texturing

Shading

Realistic Rendering

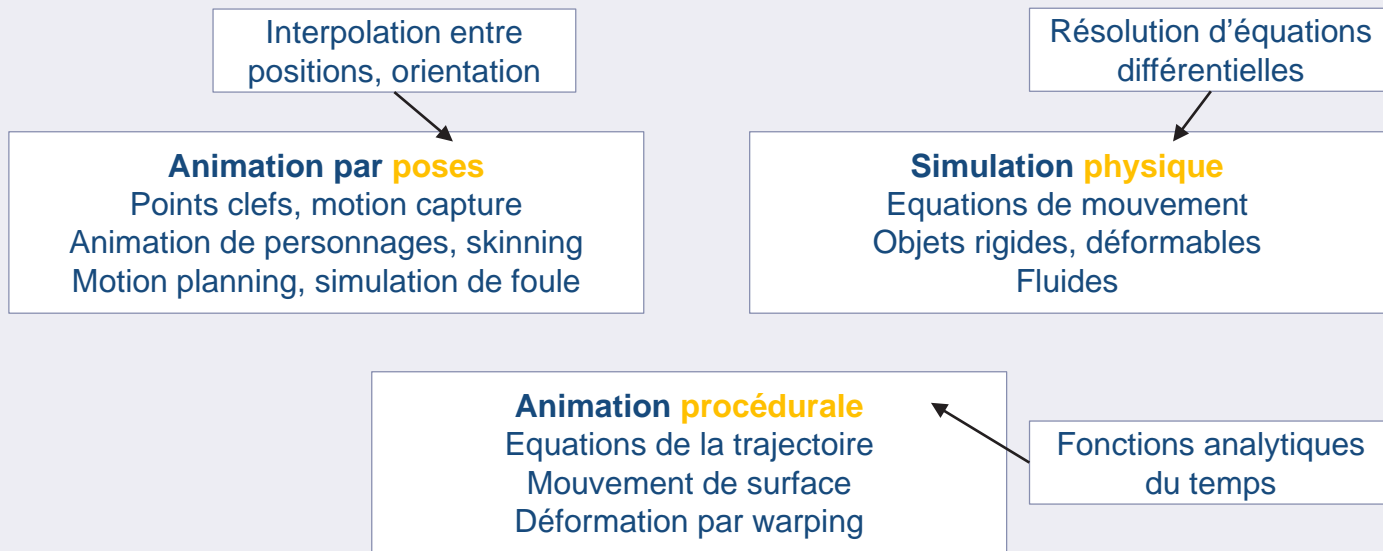
Acceleration

**Animation**

# Introduction

## Overview

### Procedural animation

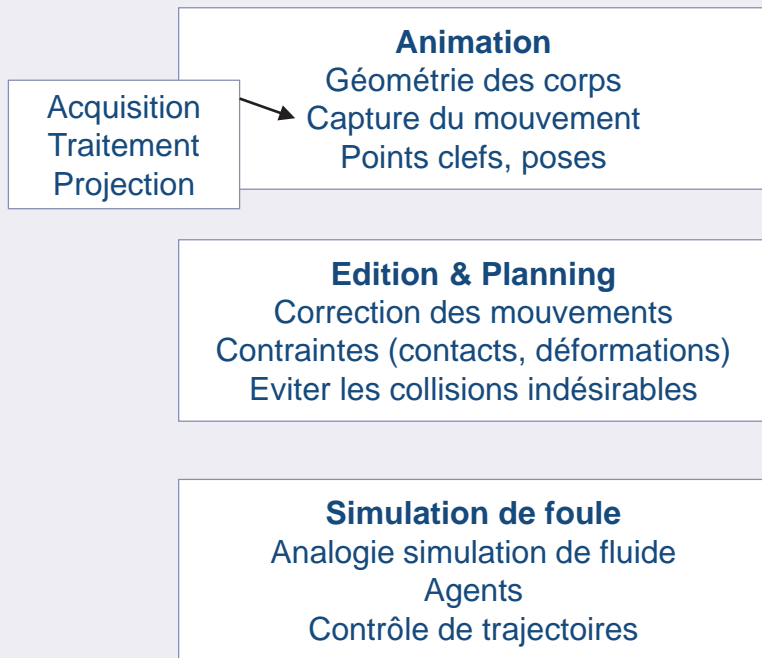


eric.galin@liris.cnrs.fr  
<http://liris.cnrs.fr/~egalin>

# Animation par poses

## Overview

### Procedural animation



Video

Video



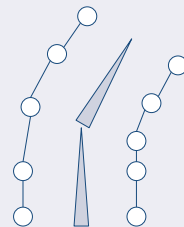
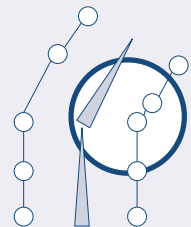
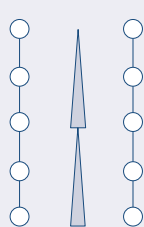
# Squelettes de déformation

## Overview

### Procedural animation

## Skining et rigging

Les sommets  $\mathbf{p}$  du maillage sont attachés aux éléments du squelette d'animation



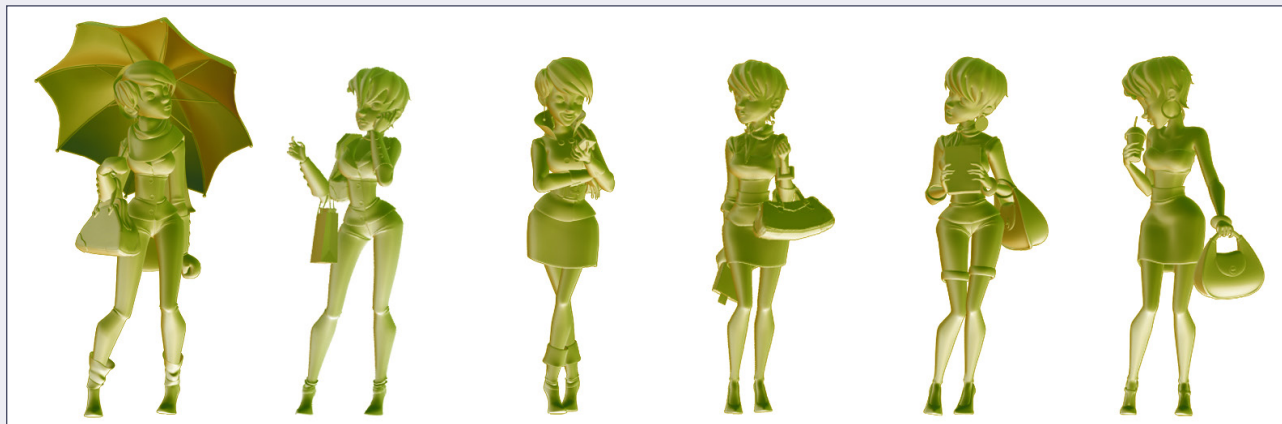
$$\mathbf{q} = \sum_{i=0}^{i=n} \omega_i \mathbf{M}_i \cdot \mathbf{p}$$

Poids    Matrice locale

Lien direct

Pondération

En bougeant les point de contrôle du squelette, le maillage suit la déformation



© Floriane Caserio

# Simulation physique

## Overview

Procedural animation

### **Solides en mouvement**

Equations différentielles  
Calcul de trajectoire  
Détection de collision

### **Fractures**

Destruction  
Résistance des matériaux  
Propagation des fractures

### **Spécifiques**

Tissus (système masse ressort), cheveux (courbes)  
Interaction avec des forces externes  
Collision, friction

### **Fluides**

Méthodes Lagrangiennes, Eulériennes  
Interaction avec des objets  
Contrôle

Video



[eric.galin@liris.cnrs.fr](mailto:eric.galin@liris.cnrs.fr)

<http://liris.cnrs.fr/~egalin>

# Computer Graphics

## Procedural animation

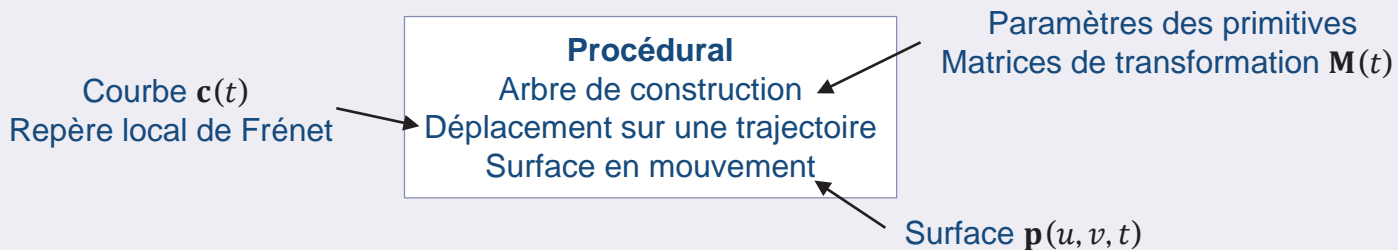
# Animation procédurale

Overview

Procedural animation

## Définition

Définition explicite (procédurale, analytique) des équations de mouvement



[eric.galin@liris.cnrs.fr](mailto:eric.galin@liris.cnrs.fr)

<http://liris.cnrs.fr/~egalin>



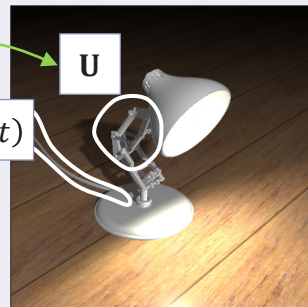
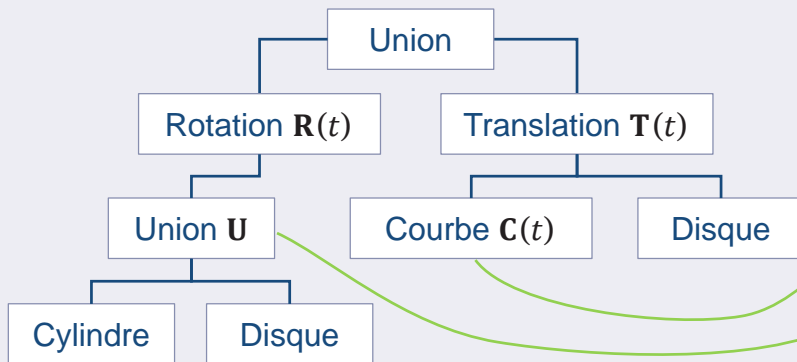
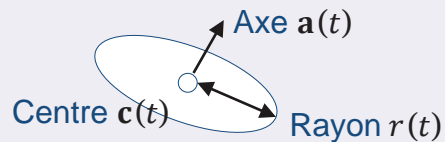
# Arbre de construction

Overview

Procedural animation

## Modèle

Paramètres géométriques fonctions du temps  
Transformations affines pour les mouvement solides

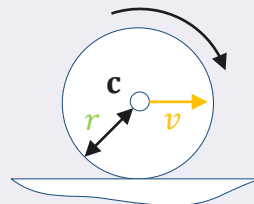


Equations dérivées de la physique et de la géométrie

$$M = T \circ R$$

Translation  $T(vt, 0, r)$

Rotation  $R_y(\theta)$  où  $\theta = \omega t$   
avec  $\omega = v/2\pi r$



Shader



eric.galin@liris.cnrs.fr  
<http://liris.cnrs.fr/~egalain>

# Transformations

Overview

Procedural animation

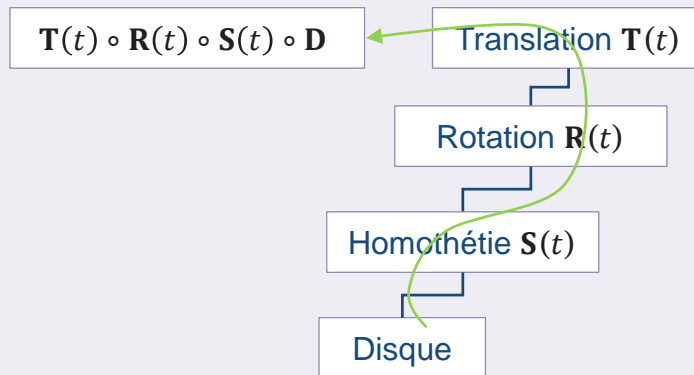
## Opérateurs de transformation

Modèle hiérarchique

Composition des transformations affines

$$\mathbf{R}_z(\theta) = \begin{pmatrix} \cos \theta & -\sin \theta & 0 \\ \sin \theta & \cos \theta & 0 \\ 0 & 0 & 1 \end{pmatrix}$$

$$\mathbf{S}(s) = \begin{pmatrix} s_x & 0 & 0 \\ 0 & s_y & 0 \\ 0 & 0 & s_z \end{pmatrix}$$



Pour intégrer les translation au formalisme matriciel, besoin de passer en coordonnées homogènes

## Animation

Transformations paramétrées par le temps  $t$



eric.galin@liris.cnrs.fr

<http://liris.cnrs.fr/~egalin>

# Transformations

Overview

Procedural animation

## Remarques

Nombreuses propriétés et formules sur les matrices

Référence

Rotation d'un vecteur  $\mathbf{v}$  d'angle  $\theta$  autour de l'axe  $\mathbf{u}$

$$\tilde{\mathbf{v}} = \mathbf{R}_{\mathbf{u}}(\theta) \cdot \mathbf{v} = \mathbf{v} \cos \theta + \mathbf{u} \times \mathbf{v} \sin \theta + \mathbf{u}(\mathbf{u} \cdot \mathbf{v})(1 - \cos \theta)$$

Formule de Rodrigues

Rotation d'angle  $\theta$  autour de l'axe  $\mathbf{u}$

$$\mathbf{R}_{\mathbf{u}}(\theta) = \begin{pmatrix} \mathbf{u}_x^2 \bar{c} + c & \mathbf{u}_x \mathbf{u}_y \bar{c} - s \mathbf{u}_z & \mathbf{u}_x \mathbf{u}_z \bar{c} + s \mathbf{u}_y \\ \mathbf{u}_x \mathbf{u}_y \bar{c} + s \mathbf{u}_z & \mathbf{u}_y^2 \bar{c} + c & \mathbf{u}_y \mathbf{u}_z \bar{c} - s \mathbf{u}_x \\ \mathbf{u}_x \mathbf{u}_z \bar{c} - s \mathbf{u}_y & \mathbf{u}_y \mathbf{u}_z \bar{c} + s \mathbf{u}_x & \mathbf{u}_z^2 \bar{c} + c \end{pmatrix}$$

$$s = \sin \theta$$

$$c = \cos \theta$$

$$\bar{c} = 1 - \cos \theta$$

## Remarques

Matrice permettant d'aligner une direction  $\mathbf{u}$  vers une autre direction  $\tilde{\mathbf{u}}$

$$\mathbf{R}_{\mathbf{u} \rightarrow \tilde{\mathbf{u}}} = \mathbf{R}_{\mathbf{u} \times \tilde{\mathbf{u}}} (\cos^{-1} \mathbf{u} \cdot \tilde{\mathbf{u}})$$



eric.galin@liris.cnrs.fr

http://liris.cnrs.fr/~egalain

# Coordonnées homogènes

Overview

Procedural animation

## Généralisation

Coordonnées homogènes dans  $\mathbf{R}^4$

Unification entre point  $\mathbf{p} = (p_x, p_y, p_z, 1)$  et direction  $\mathbf{d} = (d_x, d_y, d_z, 0)$

Rotation, translation, homothétie

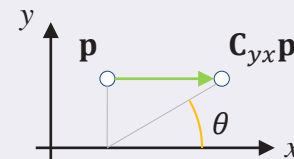
$$\mathbf{R}_z(\theta) = \begin{pmatrix} \cos \theta & -\sin \theta & 0 & 0 \\ \sin \theta & \cos \theta & 0 & 0 \\ 0 & 0 & 1 & 0 \\ 0 & 0 & 0 & 1 \end{pmatrix} \quad \mathbf{S}(s) = \begin{pmatrix} s_x & 0 & 0 & 0 \\ 0 & s_y & 0 & 0 \\ 0 & 0 & s_z & 0 \\ 0 & 0 & 0 & 1 \end{pmatrix} \quad \mathbf{T} = \begin{pmatrix} 1 & 0 & 0 & t_x \\ 0 & 1 & 0 & t_y \\ 0 & 0 & 1 & t_z \\ 0 & 0 & 0 & 1 \end{pmatrix}$$

Translation

Application linéaire

Cisaillement

$$\mathbf{C}_{yx}(\theta) = \begin{pmatrix} 1 & \cot \theta & 0 & 0 \\ 0 & 1 & 0 & 0 \\ 0 & 0 & 1 & 0 \\ 0 & 0 & 0 & 1 \end{pmatrix}$$



Produit matriciel  $\mathbf{AB} \neq \mathbf{BA}$

Les transformations ne sont généralement **pas commutatives**



eric.galin@liris.cnrs.fr  
http://liris.cnrs.fr/~egalin

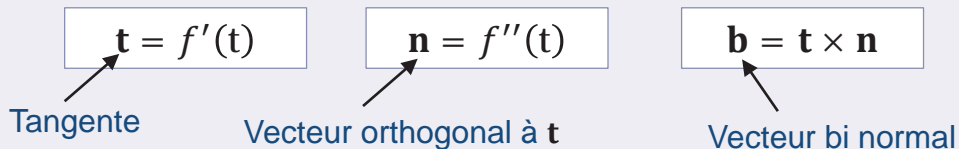
# Déplacement sur une trajectoire

Overview

Procedural animation

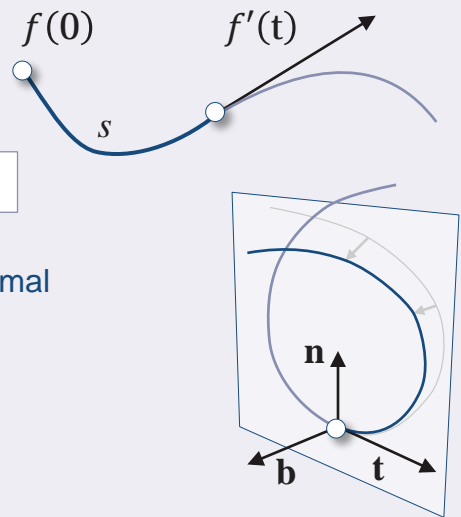
## Courbes

Courbes paramétriques  $\mathbf{p} = f(t)$ ,  $t \in I$   
Définition d'un système  $(\mathbf{t}, \mathbf{b}, \mathbf{n})$  local orthogonal



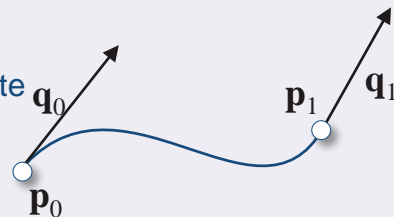
$$f'(t) \approx \frac{f(t + \varepsilon) - f(t - \varepsilon)}{2\varepsilon}$$

$$f''(t) \approx \frac{f(t + \varepsilon) - 2f(t) + f(t - \varepsilon)}{\varepsilon^2}$$



## Courbes cubiques

Hermite Spline cubique  
Courbe cubique de classe  $C^1$ , contraintes de position et de tangente



$$\mathbf{p}(t) = (2t^3 - 3t^2 + 1)\mathbf{p}_0 + (t^3 - 2t^2 + t)\mathbf{q}_0 + (-2t^3 + 3t^2)\mathbf{p}_1 + (t^3 - t^2)\mathbf{q}_1$$



eric.galin@liris.cnrs.fr  
<http://liris.cnrs.fr/~egalin>

# Surfaces animées

Overview

Procedural animation

## Surfaces d'élévation

Déplacement des points de contrôle  $\mathbf{c}(t)$  dans le temps

Animation d'une surface d'élévation  $z = f(x, y, t)$

Video

## Océan

Modèle de [Max1981] selon Airy (1845) : somme de sinusôides déphasées

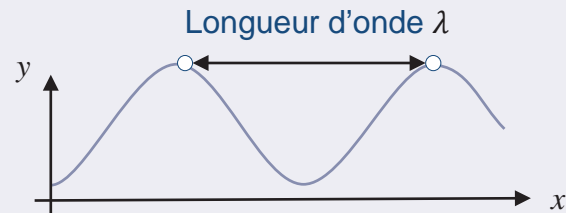
Limité aux vagues de faibles amplitudes

$$f(\mathbf{p}, t) = \sum_{i=0}^{i=n-1} a_i \cos(\mathbf{p} \cdot \mathbf{k} - \omega_i t)$$

$\mathbf{p} \in \mathbb{R}^2$

Wave number  
 $k = |\mathbf{k}| = 2\pi/\lambda$

Pulsation  
 $\omega_i = 2\pi f$



Relation entre la vitesse des vagues  $v$  et la longueur d'onde  $\lambda$  et la profondeur  $d$

$$\omega^2 = kg \tanh(kd)$$

$$k = |\mathbf{k}|$$

$$v = \sqrt{g\lambda/2\pi \tanh(2\pi d/\lambda)}$$

Gravité

Profondeur

N. Max. Vectorized procedural models for natural terrain: Waves and islands in the sunset. In Proceedings of SIGGRAPH, 317-324, 1981



eric.galin@liris.cnrs.fr

http://liris.cnrs.fr/~egalin

# Surfaces animées

Overview

Procedural animation

## Trochoïdes

Courbe paramétrée :  $\mathbf{p}(t) = (1 - a \sin(t), a \cos(t))$

Approximation par une surface d'élévation  $z = f(x, y, t)$

$$z(\mathbf{p}, t) = -a + 2a(1 - (1/2 + 1/2 * \sin(\mathbf{p} \cdot \mathbf{k} - \omega_i t))^{a+1})^{1/(a+1)}$$

Vecteur encodant la **direction** et la **longueur d'onde** de la vague  $k = |\mathbf{k}| = 2\pi/\lambda$



eric.galin@liris.cnrs.fr  
<http://liris.cnrs.fr/~egalin>

S. Thon et al. Ocean Waves Synthesis Using a Spectrum-Based Turbulence Function. Proceedings of CGI, 2000.